

1 Auswertung

Die Messzeit bei allen Messwerten war gleich (5min), so dass man alle Messwerte direkt vergleichen kann.

1.1 Mottstreuung

1.1.1 gemessene Mottstreuung

Am Szintillationszähler L und R wurden folgende Intensitäten N_L und N_R gemessen in Abhängigkeit des Azimutswinkel ϕ . Als Mottfolie diente die 2,8 μ m-Goldfolie. Der Fehler bei der Messung der Intensität ist gegeben durch

$$\Delta N_i = \sqrt{N_i}, \text{ wobei } i = L, R. \quad (1)$$

$$(2)$$

Die Intensität der einzelnen Zähler wird noch mit dem gemessenem Streuanteil s der Trägerfolie an den einzlnen Zählern korrigiert.

$$K_i = N_i - s_i, \text{ wobei } i = L, R \quad (3)$$

$$\Delta K_i = \sqrt{N_i + s_i} \quad (4)$$

Es wird das Verhältnis gebildet der Intensitäten von L und R.

$$\frac{L}{R} = \frac{K_L}{K_R} \quad (5)$$

$$\Delta \frac{L}{R} = \frac{1}{K_R} \sqrt{(\Delta K_L)^2 + \left(\frac{K_L \Delta K_R}{K_R}\right)^2} \quad (6)$$

Aus den Messwerten wurden damit folgende Werte bestimmt:

| Winkel $\pm 0,5[^\circ]$ | N_L | N_R | s_L | s_R | K_L | K_R |
|-----------------------------|-----------------|-----------------|---------------|---------------|-----------------|-----------------|
| 0 | 14824 \pm 122 | 17855 \pm 134 | 3003 \pm 55 | 3314 \pm 58 | 11821 \pm 134 | 14541 \pm 145 |
| 30 | 14816 \pm 122 | 17549 \pm 132 | 3036 \pm 55 | 3322 \pm 58 | 11780 \pm 134 | 14227 \pm 144 |
| 60 | 15621 \pm 125 | 17388 \pm 132 | 3518 \pm 59 | 3408 \pm 58 | 12103 \pm 138 | 13980 \pm 144 |
| 90 | 16294 \pm 128 | 17246 \pm 131 | 3830 \pm 62 | 3452 \pm 59 | 12464 \pm 142 | 13794 \pm 144 |
| 120 | 15834 \pm 126 | 16698 \pm 129 | 3568 \pm 60 | 3418 \pm 58 | 12266 \pm 139 | 13280 \pm 142 |
| 150 | 15754 \pm 126 | 16828 \pm 130 | 3207 \pm 57 | 3524 \pm 59 | 12547 \pm 138 | 13304 \pm 143 |
| 180 | 16121 \pm 127 | 16584 \pm 129 | 3066 \pm 55 | 3405 \pm 58 | 13055 \pm 139 | 13179 \pm 141 |
| 210 | 15858 \pm 126 | 16839 \pm 130 | 2939 \pm 54 | 2696 \pm 52 | 12919 \pm 137 | 14143 \pm 140 |
| 240 | 15579 \pm 125 | 17390 \pm 132 | 2995 \pm 55 | 3973 \pm 63 | 12584 \pm 136 | 13417 \pm 146 |
| 270 | 15485 \pm 124 | 17866 \pm 134 | 2947 \pm 54 | 4055 \pm 64 | 12538 \pm 136 | 13811 \pm 148 |
| 300 | 14884 \pm 122 | 17634 \pm 133 | 2899 \pm 54 | 3694 \pm 61 | 11985 \pm 133 | 13940 \pm 146 |
| 330 | 14546 \pm 121 | 17542 \pm 132 | 2976 \pm 55 | 3575 \pm 60 | 11570 \pm 132 | 13967 \pm 145 |
| 360 | 14649 \pm 121 | 17552 \pm 132 | 3129 \pm 56 | 3379 \pm 58 | 11520 \pm 133 | 14173 \pm 145 |

Das Verhältnis L/R ist somit:

| Winkel $\pm 0,5[^\circ]$ | $\frac{L}{R}$ |
|-----------------------------|-------------------|
| 0 | $0,813 \pm 0,012$ |
| 30 | $0,828 \pm 0,013$ |
| 60 | $0,866 \pm 0,013$ |
| 90 | $0,904 \pm 0,014$ |
| 120 | $0,924 \pm 0,014$ |
| 150 | $0,943 \pm 0,014$ |
| 180 | $0,991 \pm 0,015$ |
| 210 | $0,913 \pm 0,013$ |
| 240 | $0,938 \pm 0,014$ |
| 270 | $0,908 \pm 0,014$ |
| 300 | $0,860 \pm 0,013$ |
| 330 | $0,828 \pm 0,013$ |
| 360 | $0,813 \pm 0,013$ |

Diese Werte sind in der Abbildung 1 dargestellt.

1.1.2 Korrekturfaktor α

Der Korrekturfaktor α beschreibt die mitdrehenden Asymmetrien. Der Korrekturfaktor wird wie folgt bestimmt.

$$\alpha = \sqrt{\frac{L}{R}(0) \frac{L}{R}(\pi)} \quad (7)$$

$$\Delta\alpha = \sqrt{\frac{1}{4} \frac{L/R(0)^2 \Delta L/R(0)^2 + L/R(\pi)^2 \Delta L/R(\pi)^2}{L/R(0)L/R(\pi)}} \quad (8)$$

Der Korrekturfaktor α ist also,

$$\begin{aligned} \alpha &= 0,897 \pm 0,010 \\ &= 0,897 \pm 1,11\% \end{aligned}$$

1.1.3 Korrekturfaktor δ

Der Korrekturfaktor δ beschreibt die nicht mitdrehenden Asymmetrien. Dieser wurde durch Messungen bei $\phi = 0^\circ$ und $\phi = 180^\circ$ bestimmt, wobei als Mottstreufole eine $500\mu m$ dicke Aluminiumfolie verwendet wurde. Es wurden folgende Messwerte gemacht.

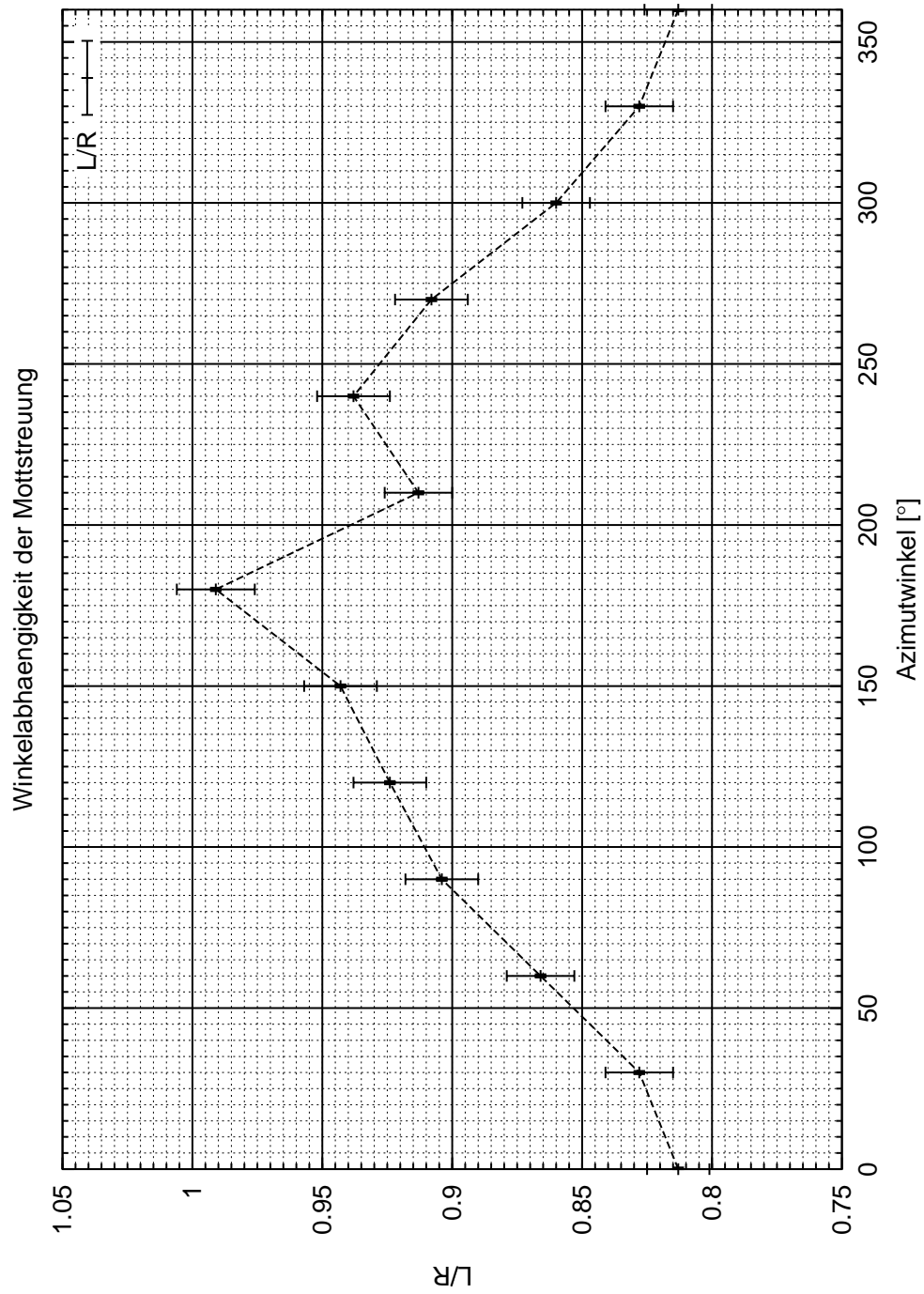


Abbildung 1: Winkelabhängigkeit der Mottstreuung

| Azimutwinkel $\pm 0,5[^\circ]$ | N_L | N_R | K_L | K_R |
|-----------------------------------|---------------|---------------|----------------|----------------|
| 0 | 7648 ± 87 | 9249 ± 96 | 4645 ± 103 | 5935 ± 112 |
| 180 | 7873 ± 89 | 9241 ± 96 | 4807 ± 105 | 5839 ± 112 |

Der Korrekturfaktor δ ist gegeben durch folgende Formel.

$$\delta = \frac{1 - y}{1 + y} \quad (9)$$

$$\Delta\delta = \frac{2\Delta y}{(1 + y)^2} \quad (10)$$

$$y = \sqrt{\frac{K_L(\pi) K_R(0)}{K_R(\pi) K_L(0)}} \quad (11)$$

$$\Delta y = \frac{1}{\sqrt{2K_R(\pi)K_L(0)}} \sqrt{\left(\sqrt{\frac{K_R(0)}{K_L(\pi)}} \Delta K_L(\pi)\right)^2 + \left(\sqrt{\frac{K_L(180)}{K_R(0)}} \Delta K_R(0)\right)^2 + \left(\sqrt{\frac{K_R(0)K_L(\pi)}{K_L(0)K_R(\pi)^2}} \Delta K_R(\pi)\right)^2 + \left(\sqrt{\frac{K_R(0)K_L(\pi)}{K_L(0)^2 K_R(\pi)}} \Delta K_L(0)\right)^2} \quad (12)$$

Nach einsetzen der Werte erhält man:

$$\begin{aligned} y &= 1,026 \pm 0,021 \\ \delta &= -0,013 \pm 0,010 \\ &= -0,013 \pm 81,3\% \end{aligned}$$

1.1.4 Mottasymmetrie x für $3\mu\text{m}$ -Goldfolie

Die Mottasymmetrie x errechnet sich genauso wie das δ aus 1.1.3, wobei die Werte $K_i(\phi)$ aus 1.1.1 genommen werden. Man erhält nach einsetzen aller Werte folgendes Ergebnis:

$$\begin{aligned} x &= -0,0494 \pm 0,0053 \\ &= -0,0494 \pm 10,78\% \end{aligned}$$

1.1.5 Erwarteter Kurvenverlauf

Der erwartete Kurvenverlauf aus der Theorie ist gegeben durch

$$\left(\frac{L}{R}(\phi)\right)_{theo} = \frac{1 + x \cos \phi + \delta}{1 - x \cos \phi - \delta} \alpha \quad (13)$$

$$\Delta \left(\frac{L}{R}(\phi)\right)_{theo} = \sqrt{f1(\phi)^2 + f2(\phi)^2 + f3(\phi)^2}, \text{ mit} \quad (14)$$

$$f1(\phi) = \frac{\alpha}{1 - x \cos \phi - \delta} \left(1 + \frac{1 + x \cos \phi + \delta}{1 - x \cos \phi - \delta} \right) \Delta\delta \quad (15)$$

$$f2(\phi) = \frac{\alpha}{1 - x \cos \phi - \delta} \left(\cos \phi + \frac{1 + x \cos \phi + \delta}{1 - x \cos \phi - \delta} \cos \phi \right) \Delta\delta \quad (16)$$

$$f3(\phi) = \frac{1 + x \cos \phi + \delta}{1 - x \cos \phi - \delta} \Delta\alpha \quad (17)$$

Diese ist zusammen mit den Messwerten in Abbildung 2 dargestellt. Der erwartete Kurvenverlauf $\left(\frac{L}{R}(\phi)\right)_{theo}$ alleine ist in Abbildung 3 dargestellt. Die in den Abbildungen zusätzlichen Kurven sind

$$\begin{aligned} \text{obere Begrenzung } \left(\frac{L}{R}(\phi)\right)_{theo} &= \left(\frac{L}{R}(\phi)\right)_{theo} + \Delta \left(\frac{L}{R}(\phi)\right)_{theo} \\ \text{untere Begrenzung } \left(\frac{L}{R}(\phi)\right)_{theo} &= \left(\frac{L}{R}(\phi)\right)_{theo} - \Delta \left(\frac{L}{R}(\phi)\right)_{theo} \end{aligned}$$

Da in $\left(\frac{L}{R}(\phi)\right)_{theo}$ auch experimentelle Werte einfließen, müssen diese auch hier berücksichtigt werden. Eine Abweichung der Winkelskala konnte bei dieser Messung nicht festgestellt werden.

1.2 Asymmetrie bei verschiedenen Foliendicken

Hier wird die Asymmetrie x als Funktion der Dicke d der Mottfolie bestimmt. Die Berechnung verläuft wie bei 1.1.4. Die Werte bei Dicke von $3\mu m$ stammen aus 1.1.1. Für den Azimutwinkel $\phi = 180^\circ$ wurden folgende Werte gemessen:

| Foliendicke d $\pm 0,1[\mu m]$ | N_L | N_R | K_L | K_R |
|-------------------------------------|-----------------|-----------------|-----------------|-----------------|
| 5 | 33044 ± 182 | 33167 ± 182 | 29978 ± 190 | 29762 ± 191 |
| 4 | 36462 ± 191 | 37773 ± 194 | 33396 ± 199 | 34368 ± 203 |
| 3 | 16121 ± 127 | 16584 ± 129 | 13055 ± 139 | 13179 ± 141 |
| 2,1 | 14409 ± 120 | 15492 ± 124 | 11343 ± 132 | 12087 ± 137 |
| 1 | 6508 ± 81 | 6899 ± 83 | 3442 ± 98 | 3494 ± 102 |

Für den Azimutwinkel $\phi = 0^\circ$ wurden folgende Werte gemessen:

| Foliendicke d $\pm 0,1[\mu m]$ | N_L | N_R | K_L | K_R |
|-------------------------------------|-----------------|-----------------|-----------------|-----------------|
| 5 | 31617 ± 178 | 35422 ± 188 | 28614 ± 186 | 32108 ± 197 |
| 4 | 33712 ± 184 | 39935 ± 200 | 30709 ± 192 | 36621 ± 208 |
| 3 | 14824 ± 122 | 17855 ± 134 | 11821 ± 134 | 14541 ± 145 |
| 2,1 | 13042 ± 114 | 16758 ± 129 | 10039 ± 127 | 13444 ± 142 |
| 1 | 6010 ± 78 | 7321 ± 86 | 3007 ± 95 | 4007 ± 103 |

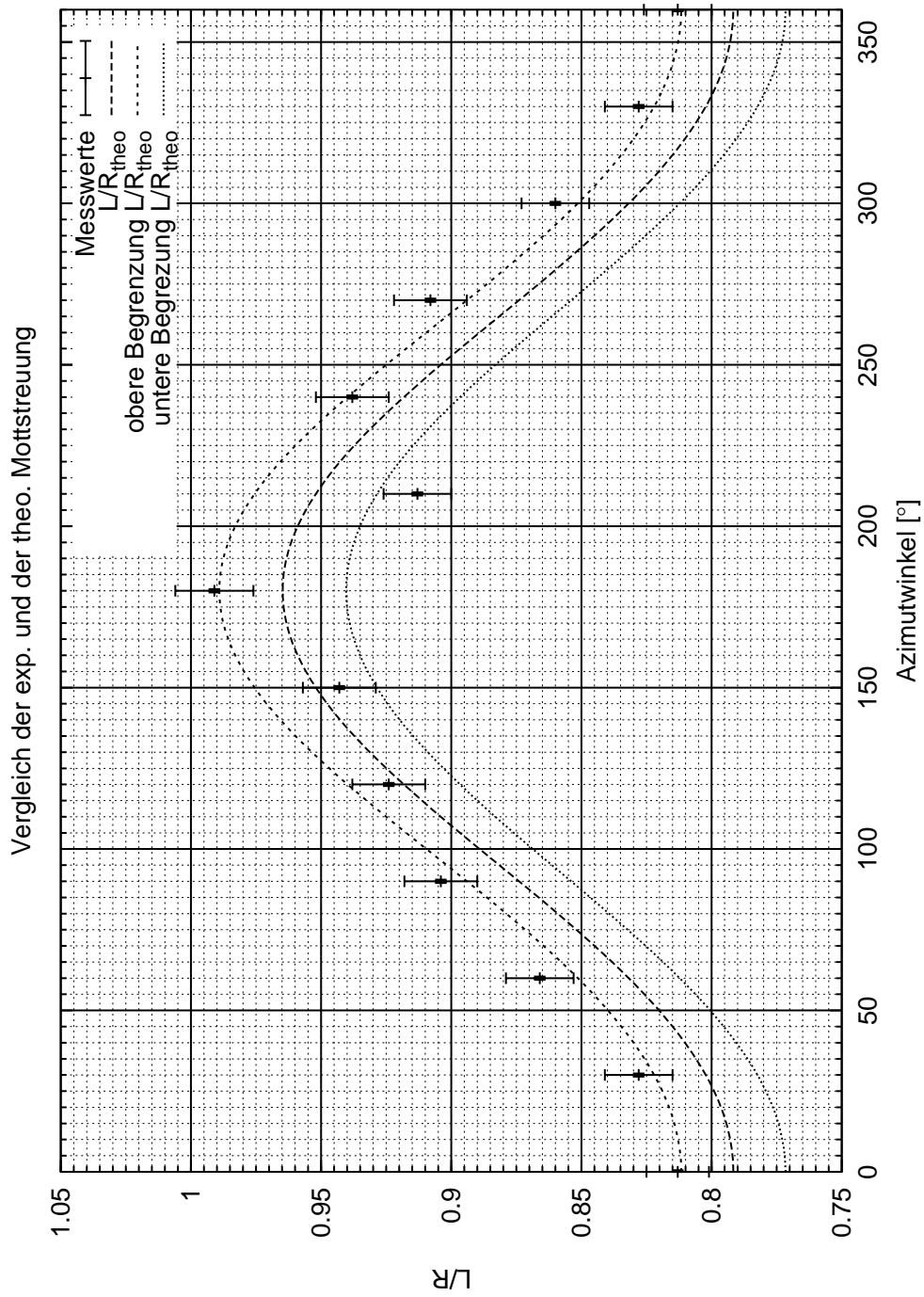


Abbildung 2: exp. und theo. Mottstreuung im Vergleich

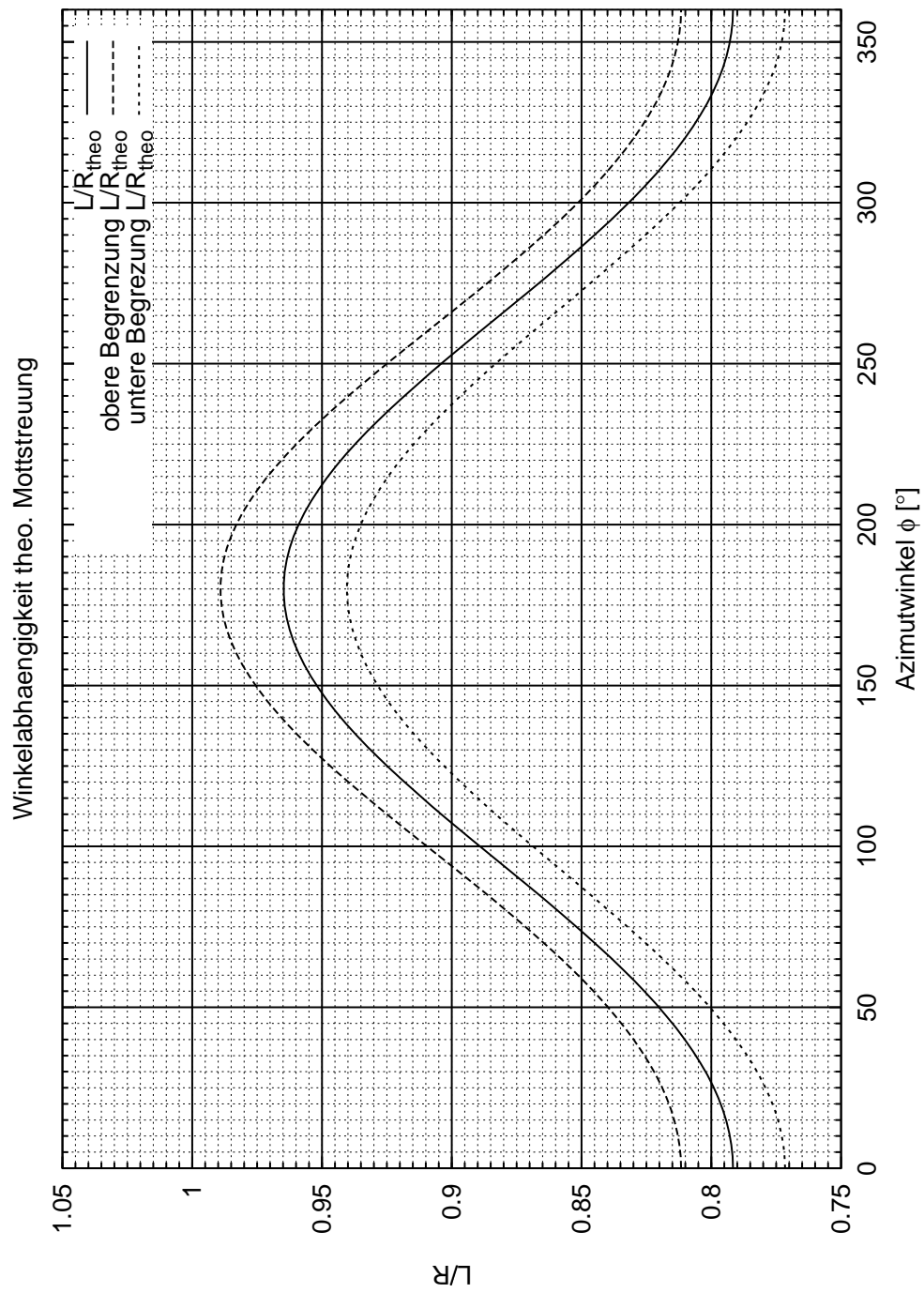


Abbildung 3: Winkelabhängigkeit der theo. Mottstreuung

Die Flächendichte σ ergibt sich durch

$$\sigma = \rho d \quad (18)$$

$$\Delta\sigma = \rho\Delta d \quad (19)$$

$$\rho = 19,28 \frac{g}{cm^3}, \text{ Dichte für Gold aus Gerthsen Physik Aufl. 19.} \quad (20)$$

Es ergeben sich folgende Werte:

| Foliendicke $\pm 0,1[\mu m]$ | Flächendicke σ $[\frac{mg}{cm^2}]$ | x | $\frac{1}{x}$ |
|---------------------------------|--|----------------------|-------------------|
| 5 | $9,64 \pm 0,19$ | $-0,0306 \pm 0,0032$ | $-32,68 \pm 3,39$ |
| 4 | $7,71 \pm 0,19$ | $-0,0368 \pm 0,0030$ | $-27,15 \pm 2,19$ |
| 3 | $5,78 \pm 0,19$ | $-0,0494 \pm 0,0053$ | $-20,26 \pm 2,18$ |
| 2,1 | $4,05 \pm 0,19$ | $-0,0571 \pm 0,0058$ | $-17,52 \pm 1,77$ |
| 1 | $1,93 \pm 0,19$ | $-0,0679 \pm 0,0143$ | $-14,72 \pm 3,10$ |

Die Asymmetrie x gegen Flächendichte σ ist in 4 dargestellt. $1/x$ gegen die Flächendichte σ ist in 5 dargestellt. In dieser Abbildung wurde eine Fitgerade durch die Messpunkte gezogen, wobei folgende Fitparameter bestimmt wurden.

$$f(\sigma) = a\sigma + b, \text{ Fitgerade} \quad (21)$$

$$a = (-2,32 \pm 0,25) \frac{cm^2}{mg}$$

$$= -2,32 \frac{cm^2}{mg} \pm 10,75\%$$

$$b = -8,83 \pm 1,62$$

$$= -8,83 \pm 18,35\%$$

1.2.1 Mottasymmetrie bei $d = 0$

Die Mottasymmetrie x_0 für die Foliendicke $d = 0cm$ ist der Kehrwert des Achsenabschnitt b der Fitgeraden in 1.2.

$$x_0 = -0,1134 \pm 0,0208$$

$$= -0,113 \pm 18,35\%$$

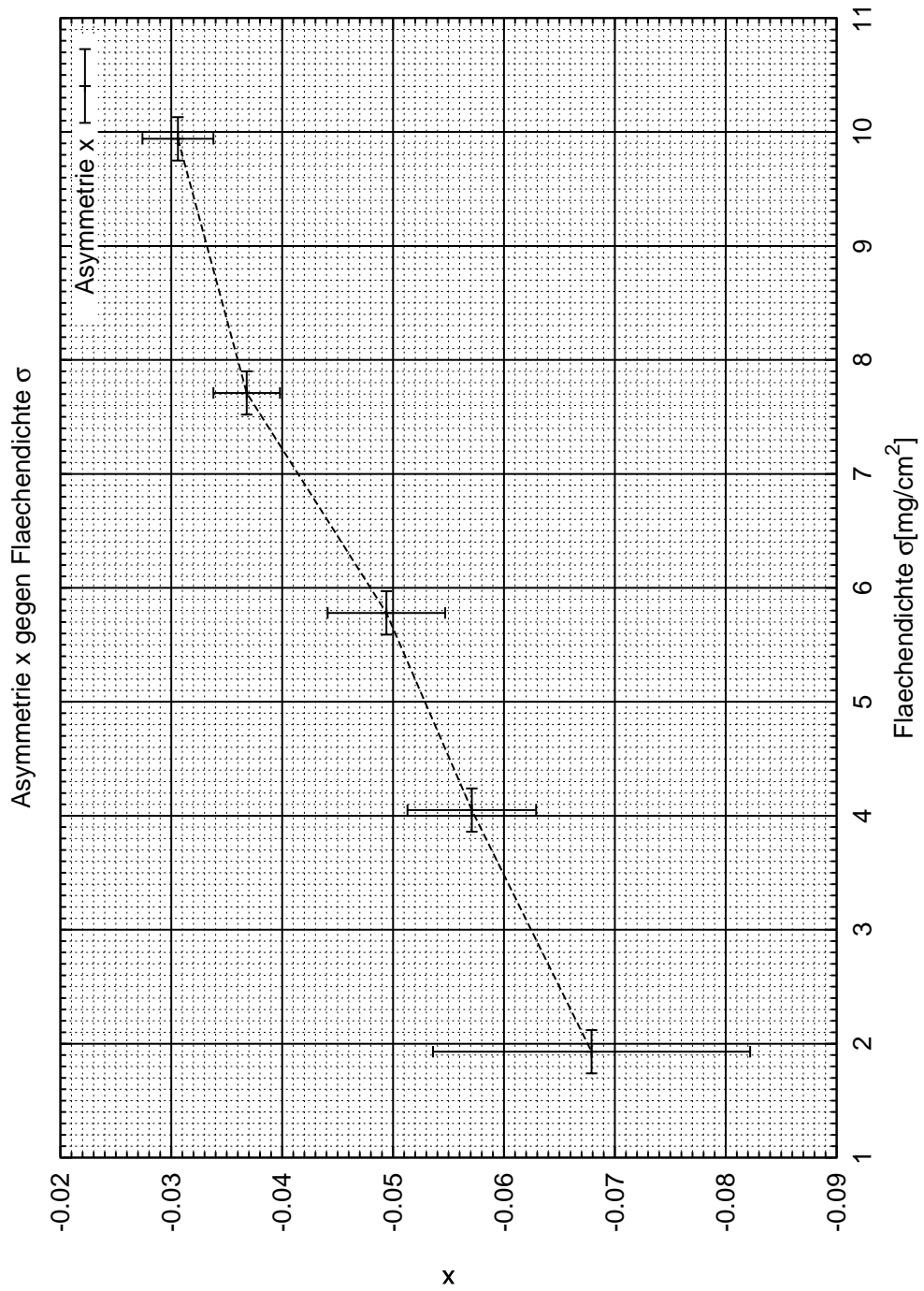


Abbildung 4: Asymmetrie x gegen Flächendichte σ

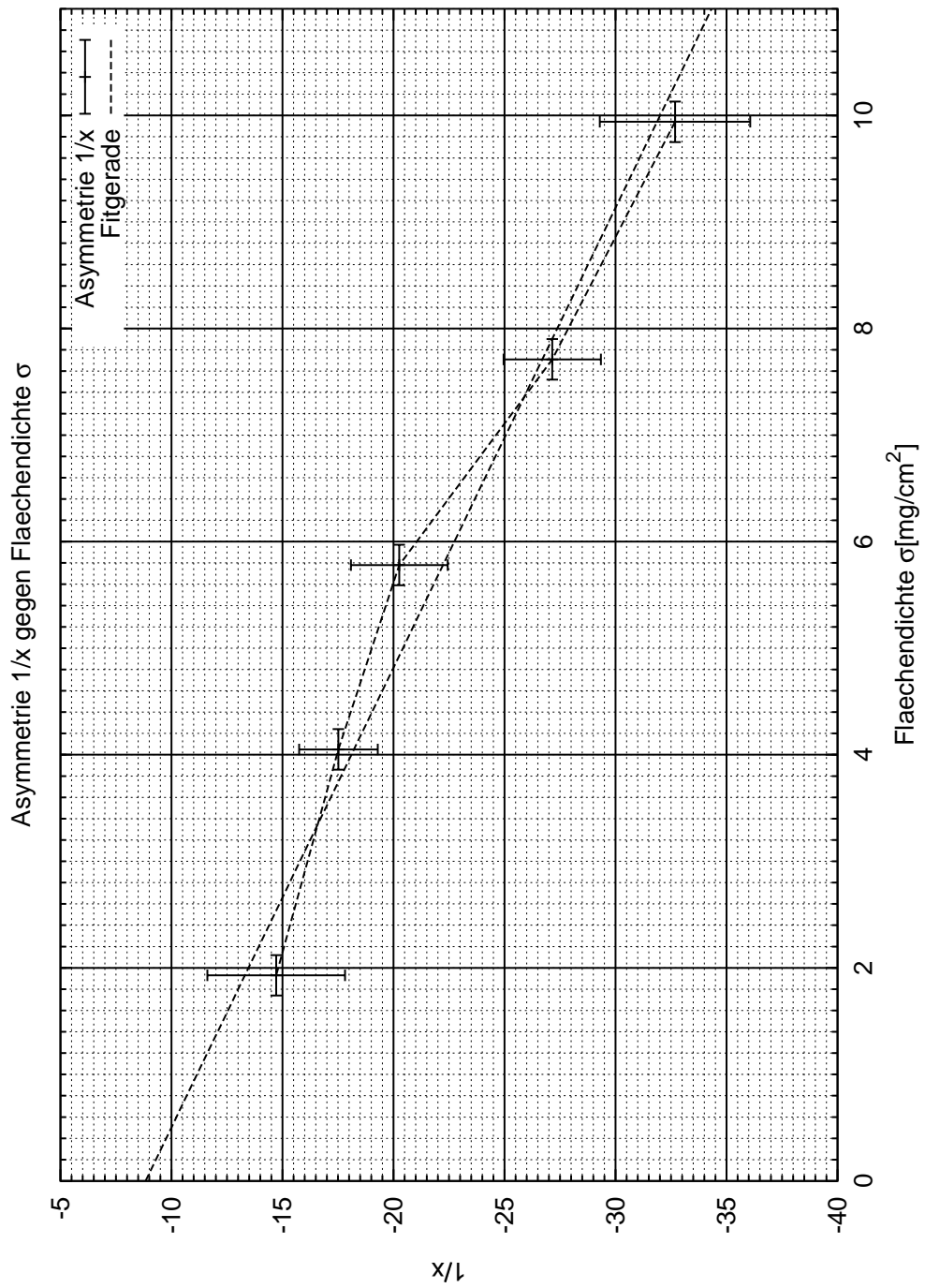


Abbildung 5: Kehrwert $1/x$ gegen Flächendichte σ

1.2.2 longitudinale Polarisation

Aus der Mottasymmetrie x_0 wird die longitudinale Polarisation der β - Teilchen abgeschätzt. Es besteht folgender Zusammenhang:

$$P_0 = -\frac{x_0}{0,237} \quad (22)$$

$$\Delta P_0 = \frac{\Delta x_0}{0,237} \quad (23)$$

Nach einsetzen der Werte erhält man für P_0 :

$$\begin{aligned} P_0 &= 0,478 \pm 0,088 \\ &= 0,478 \pm 18,35\% \end{aligned}$$